



## ЛИТЕРАТУРА

1. Шалин Р.Е., Светлов И.Л., Качанов Е.Б. Монокристаллы никелевых жаропрочных сплавов. М.: Машиностроение. 1977. 336 с.
2. Каблов Е.Н. Литые лопатки газотурбинных двигателей. Сплавы, технология, покрытия. М.: МИСиС. 2001. 632 с.
3. Орлов М.Р., Орлов Е.М. Водородная хрупкость монокристаллических жаропрочных никелевых сплавов // Деформация и разрушение материалов. 2008. № 7. С. 36–41.
4. Орлов М.Р. Образование пор в монокристаллических охлаждаемых рабочих лопатках турбины в процессе эксплуатации // ЖФМ. 2007. № 8. С. 306–312.
5. Рабинович В.А., Хавин З.Я. Краткий химический справочник. Л.: Химия. 1991. 432 с.
6. Крылов О.В. Гетерогенный катализ. М.: ИКЦ «Академкнига». 2004. 679 с.
7. Степанов А.В. Получение водорода и водородсодержащих газов. Киев: Наукова думка. 1982. 312 с.
8. Бухаркин А.К. Каталитические свойства металлов и сплавов в процессе пиролиза углеводородов. М.: Техника. 2001. 240 с.

Л.В. ПРОХОДЦЕВА, Е.В. ФИЛОНОВА,  
С.А. НАПРИЕНКО, Н.С. МОИСЕЕВА

### ИССЛЕДОВАНИЕ ЗАКОНОМЕРНОСТЕЙ РАЗВИТИЯ ПРОЦЕССОВ РАЗРУШЕНИЯ ПРИ ЦИКЛИЧЕСКОМ НАГРУЖЕНИИ СПЛАВА ВТ41\*

На основе литературных данных [1–4] и собственных исследований [5–8] титановых сплавов установлена их повышенная чувствительность к условиям циклического нагружения (форме, асимметрии цикла), что в части работ связывают с явлением ползучести, в других – с кристаллографической текстурой. Так, ранее авторами установлено, что, при испытании образцов из сплавов ВТ9, ВТ3-1, ВТ18У и других по трапециoidalному циклу с выдержкой 1 мин при максимальной нагрузке цикла, скорость роста трещины усталости (СРТУ) увеличивалась до 10-ти раз по сравнению с пульсирующим циклом, что связывали с особенностями кристаллографической текстуры. В плоскости разрушения методом рентгеновской дифракции наблюдали преимущественно базисную текстуру с интенсивностью отражения от 2 до 4,5.

В последние годы разработана методика, позволяющая изучать пространственное распределение ориентировок путем анализа картин дифракции обратно рассеянных электронов (EBSD-анализ) с использованием растрового электронного микроскопа [9, 10]. В данной работе этот метод использовали для исследования механизма разрушения нового титанового сплава ВТ41 для дисков и «блесков».

Методом вакуумно-дугового переплава выплавлен слиток сплава ВТ41, изотермической штамповкой изготовлены две шайбы в ( $\alpha + \beta$ )-

\* Работа проведена при участии Т.В. Павловой, О.С. Кашапова, М.С. Беляева, Н.А. Колмыковой, И.А. Ходинева, Н.В. Марчуковой.



и  $\beta$ -области. После проведения деформации полученные шайбы термически обработаны по следующим режимам:

- шайба, деформированная в  $\beta$ -области – нагрев до 900°C, выдержка 2 ч, охлаждение на воздухе;
- шайба, деформированная в ( $\alpha + \beta$ )-области – нагрев до 1000°C, выдержка 2 ч, охлаждение на воздухе, нагрев до 620°C, выдержка 4 ч, охлаждение на воздухе.

Исследование микроструктуры, проведенное на растровом электронном микроскопе JSM 6490-LV и оптическом металлографическом комплексе фирмы «Leica», показало, что микроструктура после деформации в ( $\alpha + \beta$ )-области и последующей термической обработки – глобулярно-пластинчатого типа и представляет собой глобулы  $\alpha$ -фазы размером от 4 до 16 мкм и пластины толщиной от 0,6 до 6,6 мкм. Доля  $\alpha$ -фазы глобулярного типа составляет ~30%. После  $\beta$ -деформации – микроструктура пластинчатого типа (средний размер пластин  $\alpha$ -фазы: 1,5 мкм) с прослойками  $\alpha$ -фазы на границе бывшего  $\beta$ -зерна толщиной ~3 мкм. На образце после деформации в ( $\alpha + \beta$ )-области – больше участков мелкодисперсного распада  $\beta$ -фазы по сравнению с деформацией в  $\beta$ -области и последующей термической обработки. На границах  $\alpha$ -фазы встречаются отдельные частицы, по-видимому,  $TiSi_2$  (рис. 1).

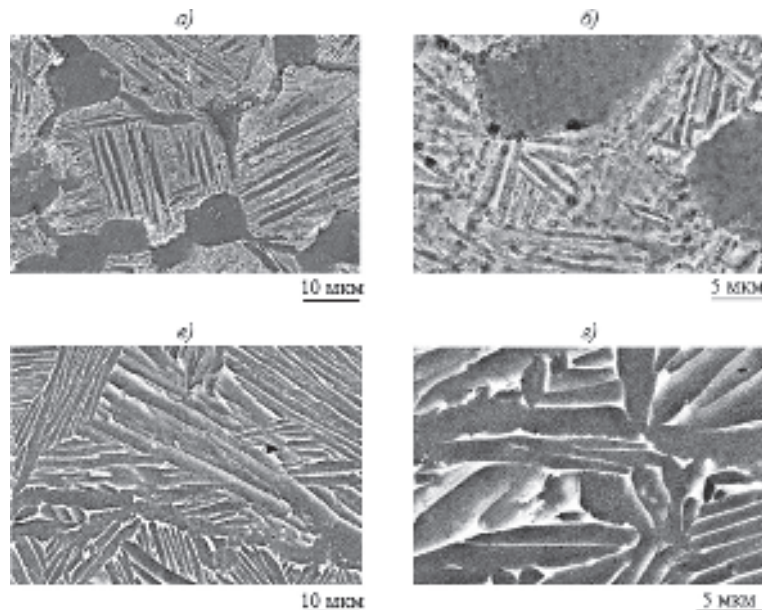


Рис. 1. Микроструктура шайбы сплава BT41 после деформации в ( $\alpha + \beta$ )- (а –  $\times 2000$ ; б –  $\times 4000$ ) и  $\beta$ -области (в –  $\times 2000$ ; г –  $\times 5000$ )

Методом рентгеноструктурного анализа на дифрактометре D/MAX-2500 определено в обоих состояниях близкое количество  $\beta$ -фазы (3–4%), обнаружена в малом количестве  $\alpha_2$ -фаза и силицид  $TiSi_2$ . На дифрактометре ДРОН-3 в Fe  $K\alpha$ -излучении определена кристаллографическая текстура в плоскости, параллельной поверхности предполагаемого разрушения



образцов (по толщине шайб). В обоих состояниях в исследуемой плоскости расположена преимущественно плоскость (0001) с интенсивностью отражения 5,7 и 3,1 в состоянии после  $\beta$ - и  $(\alpha + \beta)$ -деформации соответственно. Образцы из шайб с различного типа микроструктурой были испытаны при циклическом нагружении на гидравлической машине PSB-25. Испытания проводили по синусоидальному и трапециевидному циклу с выдержкой 30 с при максимальной нагрузке цикла при комнатной и рабочей ( $600^{\circ}\text{C}$ ) температурах. Количественные фрактографические исследования изломов образцов после циклических испытаний проводили на сканирующем электронном микроскопе JSM 6490 LV. В процессе исследования определяли шаг усталостных бороздок ( $\delta$ ) в зависимости от размаха коэффициентов интенсивности напряжений ( $\Delta K = K_{\max} - K_{\min}$ ).

Фрактографическое исследование показало, что при испытании по синусоидальному циклу при  $20^{\circ}\text{C}$  наблюдается совпадение шага усталостных бороздок и СРТУ после деформации в  $\beta$ -области в более широком интервале изменения  $\Delta K$  (от 20 до  $40 \text{ MPa}\sqrt{\text{m}}$ ), чем после деформации в  $(\alpha + \beta)$ -области (от 15 до  $25 \text{ MPa}\sqrt{\text{m}}$  (рис. 2). При одинаковом значении  $\Delta K$  ( $20 \text{ MPa}\sqrt{\text{m}}$ ) шаг усталостных бороздок после деформации в  $(\alpha + \beta)$ -области составляет  $0,2\text{--}0,35 \text{ мкм}$ , а после  $\beta$ -деформации:  $0,12\text{--}0,15 \text{ мкм}$ , что соответствует изменению СРТУ от  $3 \cdot 10^{-7}$  до  $1,2 \cdot 10^{-7} \text{ м/цикл}$ .

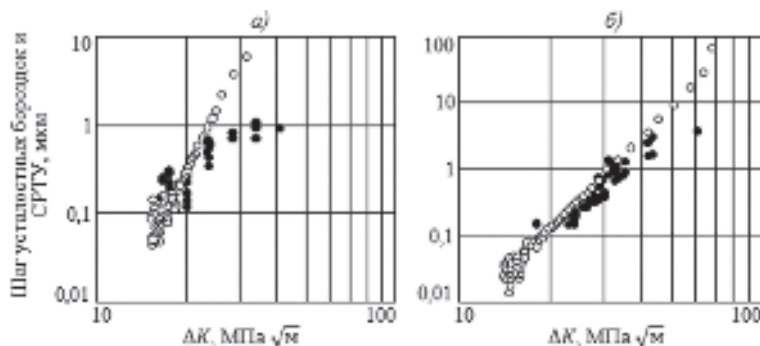
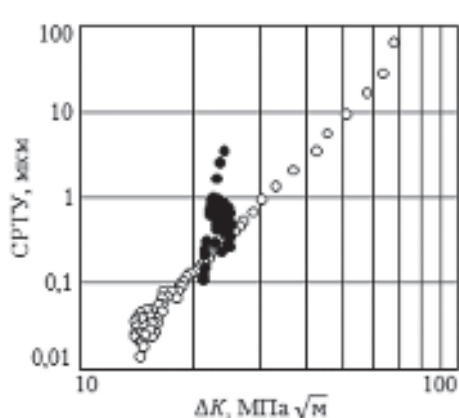


Рис. 2. Шаг усталостных бороздок (●) и СРТУ (○) сплава ВТ41 после деформации в  $(\alpha + \beta)$ - (а) и  $\beta$ -области (б) при температуре испытания  $20^{\circ}\text{C}$

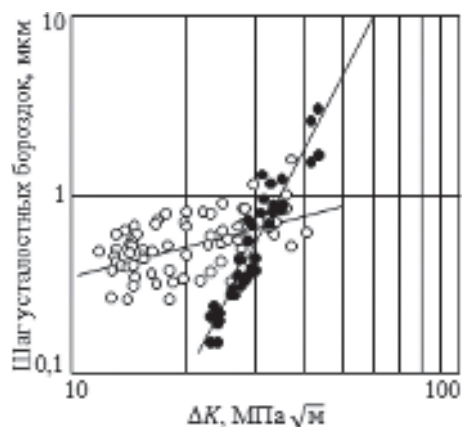
В интервалах совпадения макро- и микроскорости большую долю излома занимает разрушение с образованием усталостных бороздок.

Испытания по трапециевидному циклу нагружения показали существенное повышение СРТУ по сравнению с синусоидальным циклом (рис. 3). Увеличение СРТУ при трапециевидном цикле по сравнению с синусоидальным сопровождается уменьшением площади излома, занятой усталостными бороздками.

Повышение температуры испытаний сплава при синусоидальной форме цикла после деформации в  $\beta$ -области показало, что при  $600^{\circ}\text{C}$  разрушение с образованием усталостных бороздок появляется при более низких значениях  $\Delta K$ , чем при  $20^{\circ}\text{C}$ . При значениях  $\Delta K$  от 10 до  $25 \text{ MPa}\sqrt{\text{m}}$  шаг усталостных бороздок при  $600^{\circ}\text{C}$  значительно выше, чем при  $20^{\circ}\text{C}$ . Одн-



**Рис. 3.** Влияние выдержки при максимальной нагрузке цикла (● – трапецидальный; ○ – синусоидальный) на СРТУ сплава ВТ41 после деформации в  $\beta$ -области



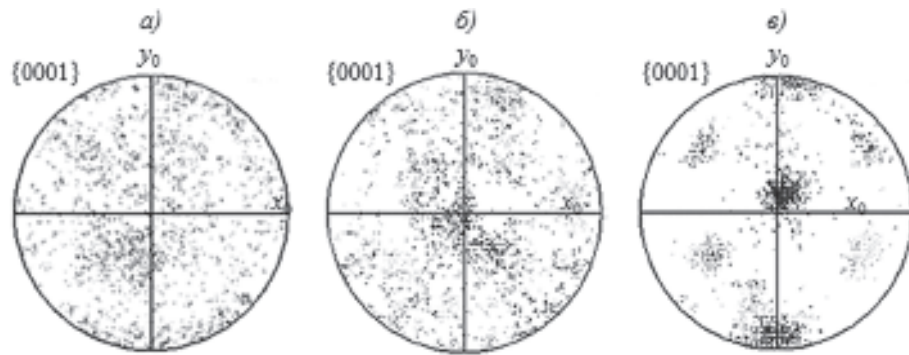
**Рис. 4.** Влияние температуры испытания (○ – 600°C; ● – 20°C) на микроскорость роста трещины усталости (деформация в  $\beta$ -области)

наковый шаг бороздок 0,5 мкм наблюдается при температуре 600°C при значениях  $\Delta K = 15 \text{ МПа}\sqrt{\text{м}}$  при 20°C – при  $\Delta K = 28 \text{ МПа}\sqrt{\text{м}}$ . В интервале значений  $\Delta K = 30\text{--}35 \text{ МПа}\sqrt{\text{м}}$  шаг усталостных бороздок при комнатной и при рабочей температурах практически совпадают. Вблизи перехода к долому шаг усталостных бороздок значительно выше при 20°C, чем при 600°C (рис. 4).

Для исследования механизма разрушения сплава ВТ41 при циклическом нагружении был использован EBSD-анализ.

На сканирующем электронном микроскопе JSM 6490 LV с помощью методики автоматического анализа картин дифракции, формируемых обратнорассеянными электронами (EBSD-анализ), проведено исследование кристаллографической ориентировки  $\alpha$ -фазы на поверхности излома образца после деформации в  $(\alpha + \beta)$ -области, испытанного по синусоидальному циклу нагружения при 20°C после электрополировки (на глубину ~1 мкм) при  $\Delta K$ : 15, 20 и 30  $\text{МПа}\sqrt{\text{м}}$ . Анализ карт ориентации показал следующее:

- спектр разориентации большеугловых и среднеугловых границ в начале разрушения (при  $\Delta K$ : 15 и 20  $\text{МПа}\sqrt{\text{м}}$ ) характеризуется преобладанием границ с разориентацией 60 и 90 град. При  $\Delta K = 30 \text{ МПа}\sqrt{\text{м}}$  наблюдается увеличение среднеугловых границ с разориентацией 10 и 30 град;
- увеличение площади излома по длине усталостной трещины, занятой структурными составляющими с ориентацией (0001);
- на всех исследованных участках наблюдается преимущественно базисная текстура, т.е. в плоскости разрушения расположена преимущественно плоскость (0001);
- интенсивность отражения от плоскости (0001) в начале излома ( $\Delta K = 15 \text{ МПа}\sqrt{\text{м}}$ ) ослабляется по сравнению с текстурой в плоскости, параллельной излому, на расстоянии 3 мм от него;
- по мере роста трещины базисная текстура «обостряется» (рис. 5);
- результаты, полученные методом EBSD-анализа, подтверждены методом рентгеноструктурного анализа.



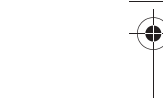
**Рис. 5.** Прямые полюсные фигуры с поверхности излома у начала разрушения при  $\Delta K = 15 \text{ МПа}\sqrt{\text{м}}$  (a), на расстоянии 7 мм от начала разрушения при  $\Delta K = 20 \text{ МПа}\sqrt{\text{м}}$  (б) и на расстоянии 15 мм от начала разрушения при  $\Delta K = 30 \text{ МПа}\sqrt{\text{м}}$  (в)

На шайбах из сплава ВТ41 проведен анализ закономерностей развития разрушения при циклическом нагружении в зависимости от условий испытания (температуры, формы цикла). Установлено следующее:

- в структуре шайбы после деформации в  $(\alpha + \beta)$ -области наличие большего количества участков мелкодисперсного распада  $\beta$ -фазы (по сравнению с деформацией в  $\beta$ -области и последующей термической обработки);
- интервалы значений размаха коэффициента интенсивности напряжений ( $\Delta K$ ), в которых наблюдается совпадение макро- (СРТУ) и микроскорости (шаг усталостных бороздок) роста трещины титанового сплава ВТ41 для дисков и лопаток;
- повышенная макро- и микроскорость развития усталостной трещины на сплаве после деформации в  $(\alpha + \beta)$ -области по сравнению с  $\beta$ -деформацией в исследованном интервале значений  $\Delta K$ ;
- повышенная чувствительность сплава к форме цикла нагружения;
- различная зависимость макро- и микроскорости развития трещины усталости от температуры испытания;
- изменение кристаллографической текстуры в процессе роста трещины усталости, что свидетельствует об изменении механизма пластической деформации.

## ЛИТЕРАТУРА

1. *Bache M.R.* A review of dwell sensitive fatigue in titanium alloys: the role of microstructure, texture conditions // Internation Journal of fatigue. 2003.
2. *Evans W.J.* Dwell-sensitive fatigue in near alpha-titanium alloy // J. Mat. Science. 1987. V. 6. P. 571–574.
3. *Boyce B.H., Rilchie R.O.* Effect of load ratio and maximum stress intensity on the fatigue threshold in Ti-6Al-4V // Eng. Fract. Mechanics. 2006. V. 68. P. 129–147.
4. *Parida B.V., Nicholas T.* Elevated fatigue fracture of temperature engineering materials fatigue crack growth behavior of Ti-1100. 1994. V. 17. № 5. P. 551–561.
5. *Проходцева Л.В., Добрынина О.Ю., Павлова Т.В., Марчукова Н.В.* Кинетика и фрактографические особенности разрушения дисков компрессора из сплава



ВТ18У / В сб. статей второй Международ. конф. «Деформация и разрушение». М. 2007. С. 301–303.

6. Кашапов О.С., Ночновая Н.А., Павлова Т.В., Проходцева Л.В. Особенности характера разрушения и структурно-фазового состояния нового жаропрочного титанового сплава // Технология легких сплавов. 2007. № 2. С. 39–42.

7. Проходцева Л.В., Павлова Т.В., Роцина И.Н., Марчукова Н.В. Кинетика и фрактографические особенности разрушения дисков компрессора из сплава ВТ18У / В сб. тезисы докл. на Международ. конф. «Актуальные вопросы авиационного материаловедения». М.: ВИАМ. 2007. С. 130.

8. Nochovnaya N., Pavlova T., Antachev V., Kashapov O. Study of fracture Mechanisms of new VT41 high temperature titanium alloy at various conditions / The II<sup>th</sup> world conference on titanium (Japan). 2007. Р. 79.

9. Миронов С.Ю., Даниленко В.Н., Мышилев М.М., Корнева А.В. Анализ пространственного распределения ориентировок элементов структуры поликристаллов, получаемого методами просвечивающей электронной микроскопии // ФТТ. 2005. Т. 47. № 7. С. 1217–1225.

10. Миронов С.Ю., Мышилев М.М. Анализ эволюции дислокационных границ в ходе холодной деформации микрокристаллического титана // ФТТ. 2007. Т. 49. № 5. С. 815–821.

B.H. КИРИЛЛОВ, O.B. СТАРЦЕВ, B.A. ЕФИМОВ

## КЛИМАТИЧЕСКАЯ СТОЙКОСТЬ И ПОВРЕЖДАЕМОСТЬ ПОЛИМЕРНЫХ КОМПОЗИЦИОННЫХ МАТЕРИАЛОВ, ПРОБЛЕМЫ И ПУТИ РЕШЕНИЯ

Обеспечение безопасности эксплуатации авиационной техники предъявляет крайне жесткие требования к надежности материалов, используемых в этих конструкциях. Требования к конструкционным материалам, наиболее полно отвечающим современным тактико-техническим требованиям, стимулировали разработку и широкое использование полимерных композиционных материалов (ПКМ).

Полимерные композиционные материалы относятся к новому классу материалов, которые в силу ряда существенных преимуществ перед металлическими материалами нашли широкое распространение в изделиях различных отраслей техники. В частности, объем применения углепластиков в конструкциях различных типов аэробусов за последнее десятилетие (2000–2010 гг.) вырос в 3–5 раз [1]. В последнем изделии зарубежного авиапрома – Боинге 787 – фюзеляж и несущие поверхности крыла и оперения полностью выполнены из композиционных материалов.

Полимерные материалы под воздействием комплекса климатических факторов (температуры, влажности, солнечного излучения и др.) могут существенно изменять свои прочностные характеристики, что необходимо учитывать при проектировании изделий авиационной техники, предназначенных для эксплуатации во всеклиматических условиях [2]. Необходимость учета воздействия климатических факторов на материалы отражена в Авиационных правилах [3]. Применительно к ПКМ требования задаются разработчиками изделий, при этом практический интерес представляют материалы, уровень прочностных свойств которых за пе-

